

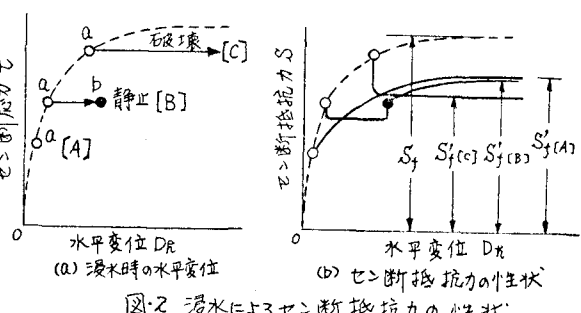
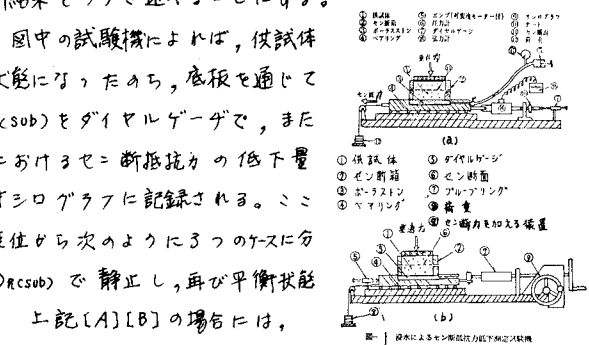
大阪工業大学 正会員 ○福 田 譲  
 (KK)鴻池組 正会員 中 次 重 一  
 大阪工業大学 学生会員 小川 敏次郎

1. まえがき 盛土斜面をくにマサ土のようす風化砂質土によって築造された斜面が浸水を受けると、しばしば崩壊する。盛土内への浸透過程は種々で、崩壊状態も多様である。種々な条件が複雑に関与して生じるこのような崩壊や中立応力の変化と強度定数C<sub>c</sub>、中せんの解析では説明の困難な場合が多いようである。筆者らはさきに、新しく試作した浸水セニ断試験機から、不飽和土は浸水時、セニ断抵抗力が低下し、同時に変位の生じることを指摘し、実験結果の一部を報告した。この実験の中で、水面の上昇状態と土のセニ断抵抗力の低下状態から、斜面崩壊の中には、地下水位附近をすべり面とする崩壊も十分考えられる。本報告では、地下水位附近をすべり面とする塊状崩壊に限定し、その解析法と解析結果をつづき述べることにする。

2. 試験機および試験方法 図1に試験機を示す。図中の試験機によれば、供試体に一定の垂直力と一定のセニ断力を加えられ平衡状態になる。たゞち、底板を通じて注水し、浸水によって生じる供試体の水平変位D<sub>c(sub)</sub>をダイヤルゲージで、またナットを通して調節することによって任意の変位点におけるセニ断抵抗力の低下量ΔS<sub>c(sub)</sub>が張力計で測定され、その値は自動的にオシログラフに記録される。ここでにおいて、供試体の浸水時ににおける様相は、その変位点を次のように3つのケースに分けられる。[A] D<sub>c(sub)</sub>を生じる場合 [B] ある D<sub>c(sub)</sub>で静止し、再び平衡状態をとる場合 [C] 完全にセニ断破壊を生じる場合 上記[A][B]の場合には、図2中(c)の部品⑦⑧を取り除き、図2(b)のようにフルーブリニク<sup>ア</sup>⑦とセニ断力を加える装置⑨をとり付け、セニ断力をヒズミ制御法で測定する。

3. 実験結果 図2において、上記[A][B][C]の様相を説明し、試験結果を図3,4にまとめて示す。図2の点線は不飽和土のセニ断応力～変位線を、A点は一定の垂直力と一定のセニ断力を加えられ平衡状態になる点を表わす。浸水はこの点から始められる。いずれのケースによるときは、試験時ににおける供試体の応力履歴、ならびに垂直力とセニ断力の相対的な比により決定されられる。図のように、[A]のケースは、一般に垂直力に対しセニ断力が小さい場合で、D<sub>c(sub)</sub>ながらセニ断抵抗力の低下はみられない。[B]のケースは、浸水時、D<sub>c(sub)</sub>を生じたのち静止し、その際セニ断抵抗力はΔS<sub>c(sub)</sub>低下する。そしてC点に達したのちセニ断抵抗力は、破壊点に至るまで増大することとなる。[C]の場合、浸水時、図のとおり完全にセニ断破壊し、その後のセニ断抵抗力は、セニ断力を下まわることとなる。各ケースの最大セニ断抵抗力をそれぞれ、S<sub>f(A)</sub>, S<sub>f(B)</sub> および S<sub>f(C)</sub> とすると、多数の実験結果より、S<sub>f(A)</sub>, S<sub>f(B)</sub> の両者の値はほぼ等しいが、S<sub>f(C)</sub> は前記二者の値より小さな傾向がみられる。実験結果から得られた不飽和土の最大セニ断抵抗力 S<sub>f</sub> と上記の各ケースにおける最大セニ断抵抗力を図3Aに示す。

4. 解析法 1) 地下水面形とすべり面: まえがきで述べたとおり、ここでは浸透水の上昇中に生じる水面付近をすべり面とした塊状すべりを対象としているので、水面形の設定が必要である。背面の水位が次第に上昇



傾斜面へと向う非定常流の自由水面は凹状の曲線と考えられる。解析上、この曲線を单纯円弧、場合においては直線に近似化する。2) 解析法: 実際の盛土斜面の安定解析法として、2つの方法が考えられる。いずれの場合も地下水水面をすべり面として土塊を分割するのであるが、一つの方法は、図-5のように各分割片の代表点( $a_1$ ~ $a_4$ )をとり、各点の応力状態に対応した条件で浸水セイ断試験を行い、その結果を直接解析に用い安全率を求める方法である。

他の一つは、前述のとおり $S_{f(cc)}$ は、 $S_{f(B)}$ ,  $S_{f(AT)}$ よりも小さくなることから、解析は安全側に考え方、いずれのケースにおいても $S_{f(CC)}$ の値を便宜的に採用

し、図-3, 4  
の試験結果  
界を利用して、  
安全率を求  
める方法で

ある。ただし  
し、一般によ  
く解析が望  
ましい。

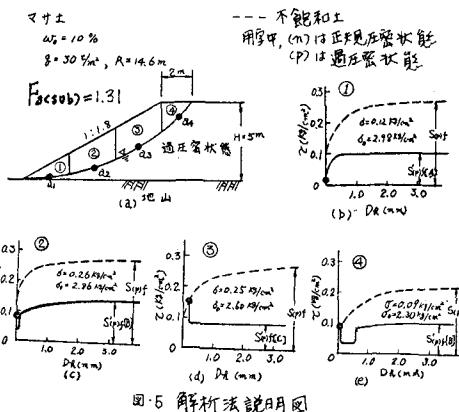


図-5 解析法説明図

5. 解析結果 図-6, 7, 8に解析結果を示す。図-6, 8中(A)は一様に縛固められた場合 (b)(c)はノリ面の縛固めが不十分で、斜面と平行にそれだけ中央2.0mおよび4.0mにわたって正規圧密状態としている。ここの正規圧密状態としているのは、盛土施工中、天端せらブルドーザなどでノリ面に落されただけの状態を想定したものである。

同条件の状態の図-6(a)と図-7(a)の两者を比較すると、縛固め荷重が大きいものほど安全率は大で、斜面の縛固めが不足すと、図のように

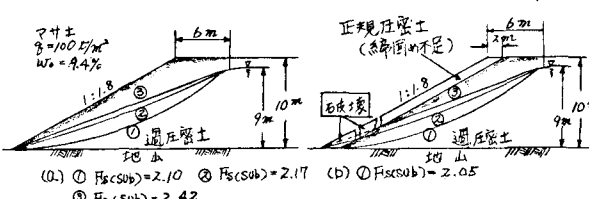
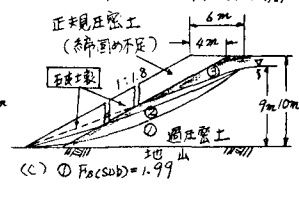


図-6 解析例



(c) ①  $F_{c(sub)} = 1.99$

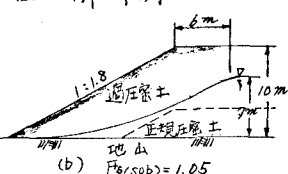
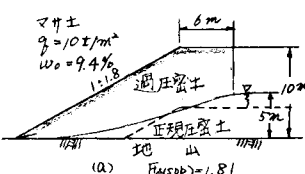
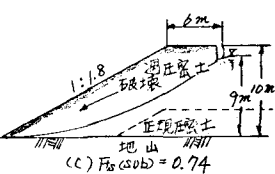


図-7 解析例



容易に斜面崩壊を起すことになる。なお、さらに種々な条件の解析結果を講演時に述べる。

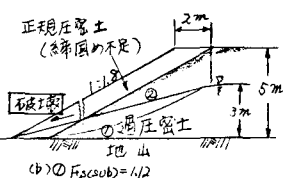
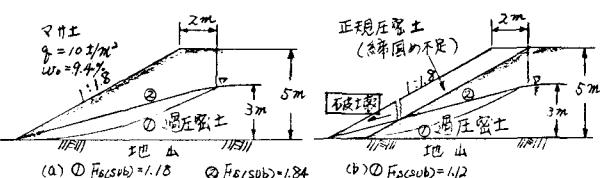
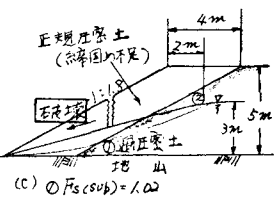


図-8 角分析例



参考文献: 1) 福田外, 土学講, Ⅲ部-58, 1976 2) 福田外, 第12回国質研究発表会, 889, 1977